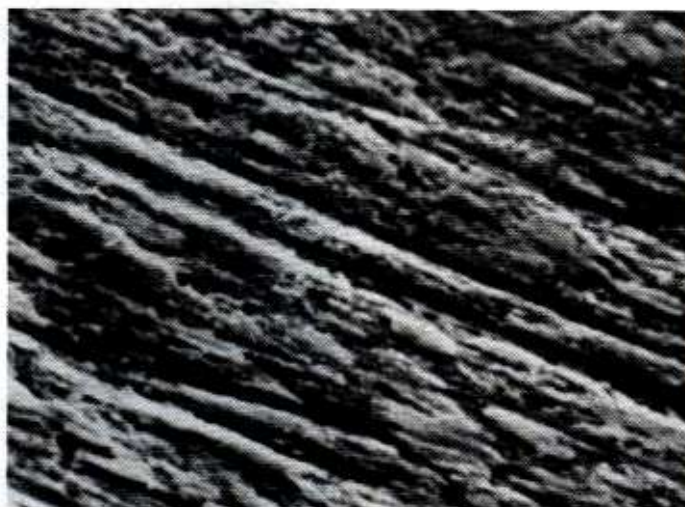


## 8. Tření.



### Cíl:

Ze zkušenosti víme, že vyrobit ideálně hladký povrch pevné látky bude asi dosti obtížné, ne-li nemožné. I tzv. zrcadlově hladký povrch kovu se nám při dostatečném zvětšení jeví jako hrbolatý (Obr. 8.1). Proto posouváme-li po sobě dvě tělesa, budou mezi nimi působit tzv. *síly tření*. Tyto síly dělíme na síly *tření smykového, valivého, řemenového a vrtného*. Z jiného hlediska dělíme tření na tření *suché a mokré*. V následující kapitole objasníme základní charakteristiky všech těchto druhů tření.



Obr.8.1. 1500 x zvětšený povrch vyleštěné ložiskové oceli.



### 8.1. Tření smykové (suché).

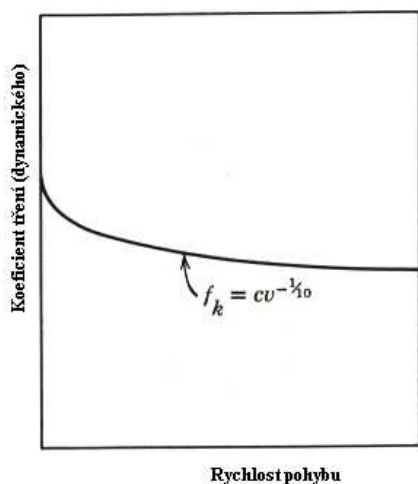
Tření smykové vzniká při pohybu jednoho tělesa po druhém (předpokládáme, že obě plochy jsou rovinné). Pro sílu tření mezi oběma tělesy platí experimentálně určený Coulombův – Amontův zákon:

$$F_t = \mu \cdot N \quad (8.1)$$

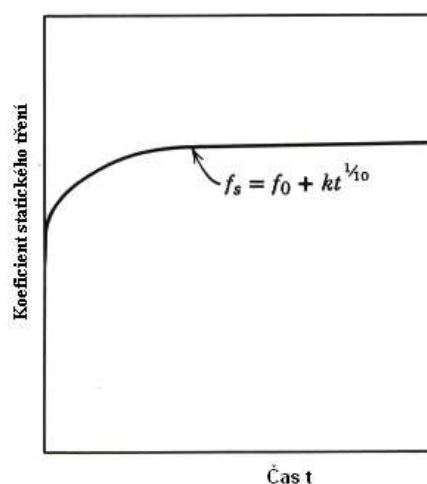
kde  $\mu$  je koeficient tření a  $N$  je kolmý tlak, tj. složka výsledné síly, kolmá k třecí ploše.

Koeficient tření je funkcí (zřejmě kromě jiných parametrů) rychlosti vzájemného pohybu obou těles (Obr.8.2 ). Jeho závislost na době, po kterou obě tělesa na sobě spočívají, je uvedena na Obr.8.3. Na Obr.8.4. je vynesena závislost síly tření na čase. Z obrázku plyne z praxe známá zkušenost: táhneme – li např. sáně po umrzlém sněhu, musíme nejdříve působit dosti velkou silou, než se dají do pohybu. Po překonání jisté maximální síly při níž se sáně daly do pohybu je síla, potřebná k jejich dalšímu pohybu již menší.

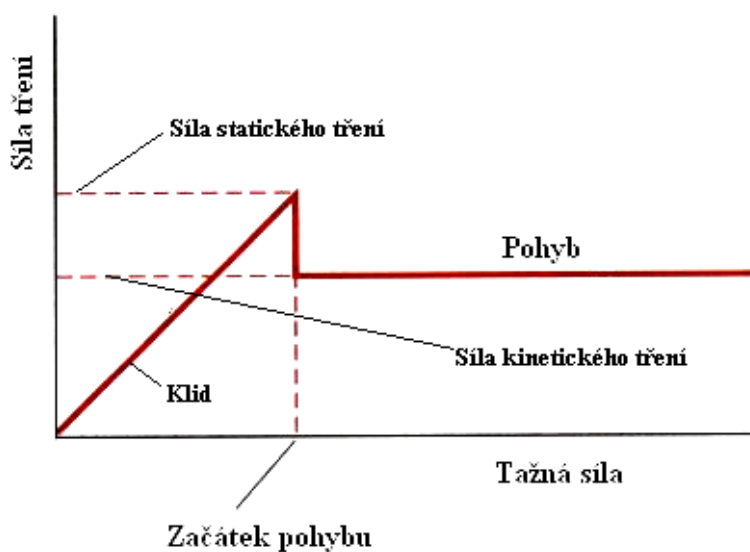
Obě uvedené závislosti lze kvalitativně vysvětlit pomocí tzv. *teorie mikrosváru*. Základní myšlenka této teorie plyne z Obr.8.5., kde jsou schematicky znázorněny dva po sobě klouzající povrchy. Právě v místech, kde se vzájemně dotýkají „výstupky“ obou ploch, dochází k tak těsnému kontaktu, že atomy obou povrchů jsou tak blízko u sebe, že mezi nimi začnou působit meziatomové síly – vzniknou *mikrosváry*. V případě kovů je situace komplikována v důsledku přítomnosti heterogenní vrstvy, která vzniká na jejich povrchu v důsledku oxidace a technologického zpracování (Obr.8.6. ).



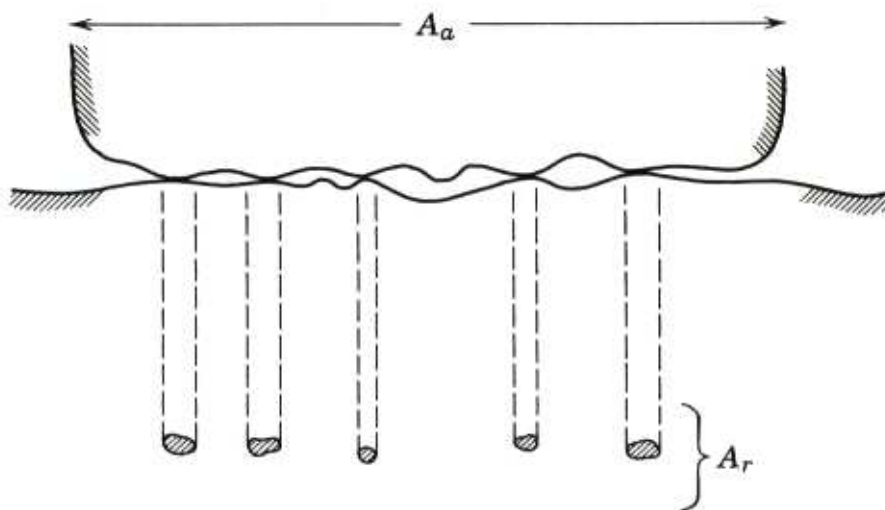
Obr.8.2. Závislost koeficientu tření na rychlosti pohybu.



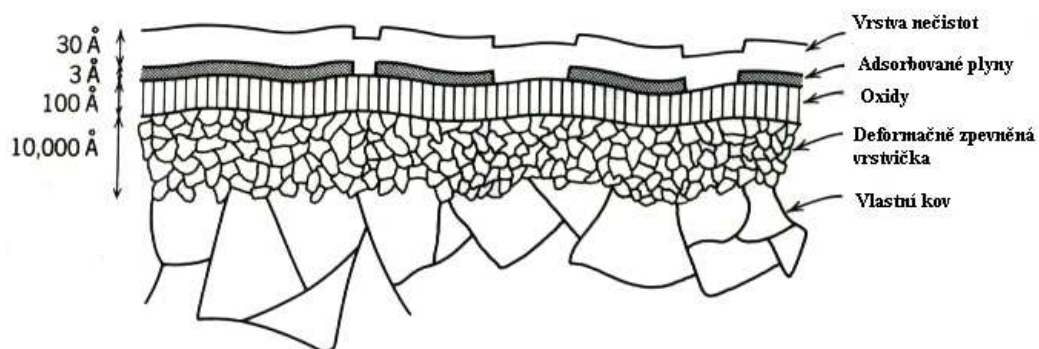
Obr.8.3. Závislost koeficientu tření na čase (do začátku pohybu)



Obr.8.4. Závislost síly tření (koeficientu tření) na tažné síle (čase).



Obr.8.5. Vzájemný vztah mezi skutečnou a zdánlivou třecí plochou.



Obr.8.6. Schematické znázornění složité situace na povrchu kovů.

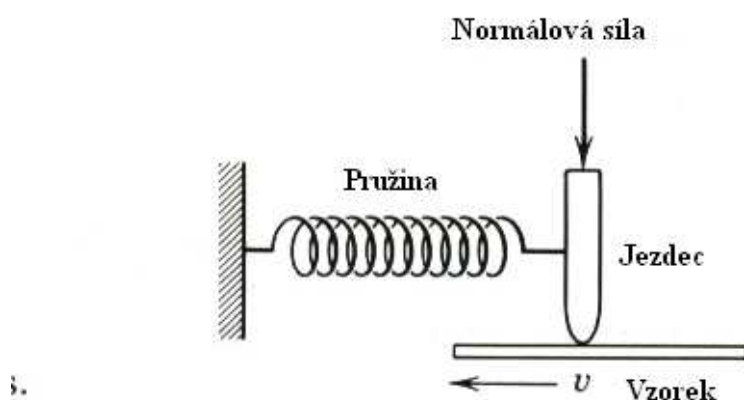
V Tabulce 8.1. jsou uvedeny koeficienty tření pro některé v praxi používané dvojice materiálů

Tab.8.1.

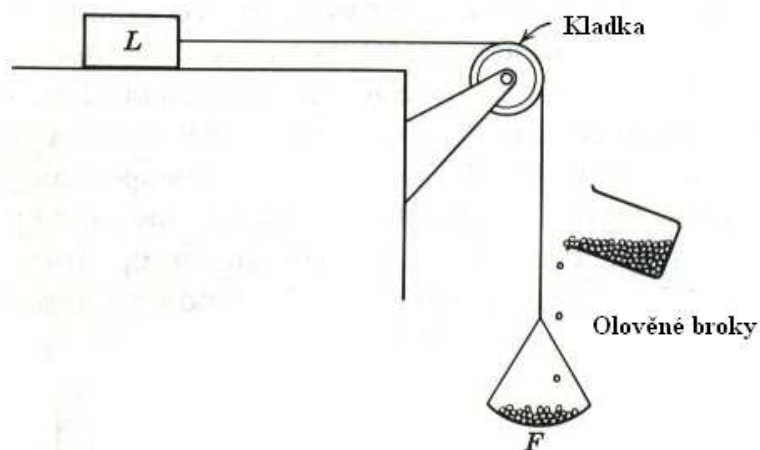
Materiál	$\mu$	Materiál	$\mu$
Dřevo – dřevo (suché)	0,40	Kov – kov (olej)	0,05
Dřevo – dřevo (namydlené)	0,20	Velmi dobře vyleštěné plochy	0,03
Kov – dubové dřevo (suché)	0,55	Ocel – achát (suché)	0,20
Kov – dubové dřevo (mokrý)	0,25	Ocel – achát (olej)	0,11
Kůže - dub	0,32	Ocel – křemen (suché)	0,50
Kůže – kov (suché)	0,56	Pneumatika – beton (suché)	0,70
Kůže – kov (mokrý)	0,36	Pneumatika – beton (mokrý)	0,25
Kůže – kov (olej)	0,15	Dřevo - kámen	0,40
Kov – kov (suché)	0,17	Teflon - teflon	0,07
Kov – kov (mokrý)	0,30	Nylon - nylon	0,25

## 8.2. Měření koeficientu tření.

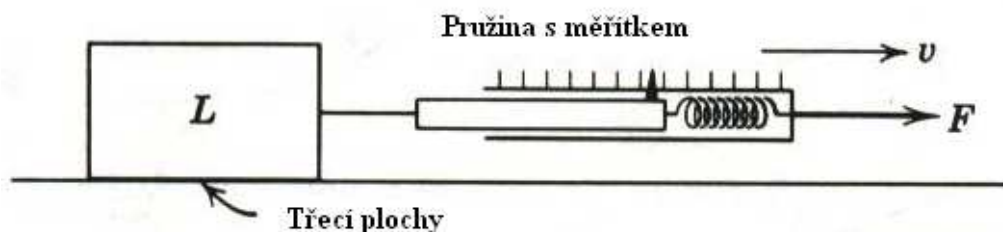
Koeficient tření  $\mu$  lze měřit různými metodami. Některé z nich jsou uvedeny na Obr. 7,8 a 7.9 a jejich princip je patrný z obrázků.



Obr.7. Měření koeficientu tření



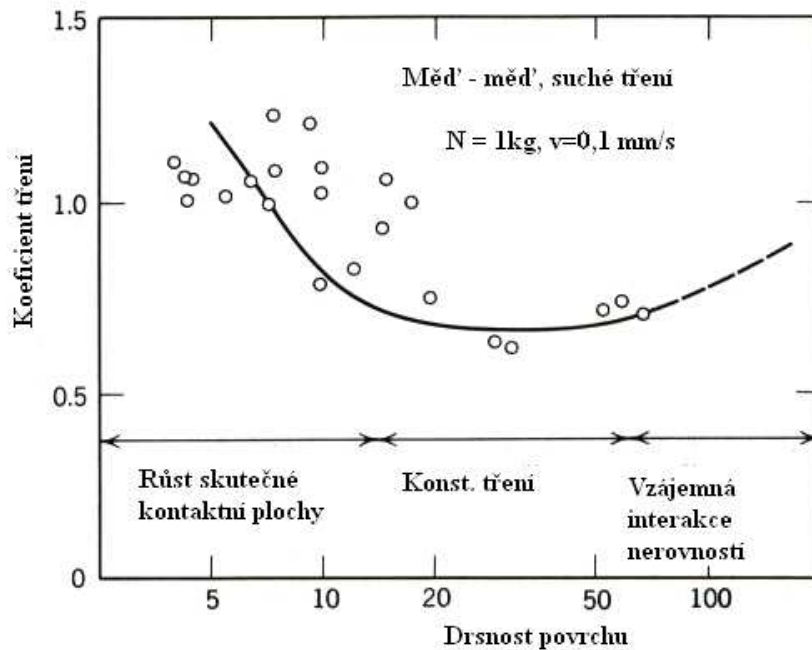
Obr.8. Měření koeficientu tření



Obr.9. Měření koeficientu tření

Základní zákony suchého tření lze shrnout do několika bodů:

- Úměra mezi velikostí třecí síly a kolmým tlakem je důsledkem skutečnosti, že každá z obou veličin závisí na materiálových konstantách, charakterizujících obě kontaktní plochy, násobené toutéž hodnotou skutečné kontaktní plochy  $A_S$ .
- Nezávislost třecí síly na zdánlivé kontaktní ploše  $A_Z$  lze objasnit pomocí představy, že to je skutečná a nikoliv zdánlivá plocha, která řídí interakci mezi oběma tělesy. A tato skutečná plocha nezávisí na ploše zdánlivé.
- Poměrně slabá závislost třecí síly na rychlosti pohybu obou těles po sobě (Obr.8.2.) souvisí s malou závislostí mezi napětím a relativním prodloužením v plastické oblasti většiny materiálů. Tam, kde je tato závislost výraznější, je výraznější i závislost třecí síly na rychlosti pohybu.
- Slabá závislost třecí síly na drsnosti třecích ploch (Obr.8.10.) souvisí s tím, že nejvíce deformační práce se spotřebuje na vyvolání smykového posunutí výstupků na plochách (na rozdíl od mnohem menší práce, spotřebované na jejich vzájemné „obcházení“, tj. klouzání po sobě)

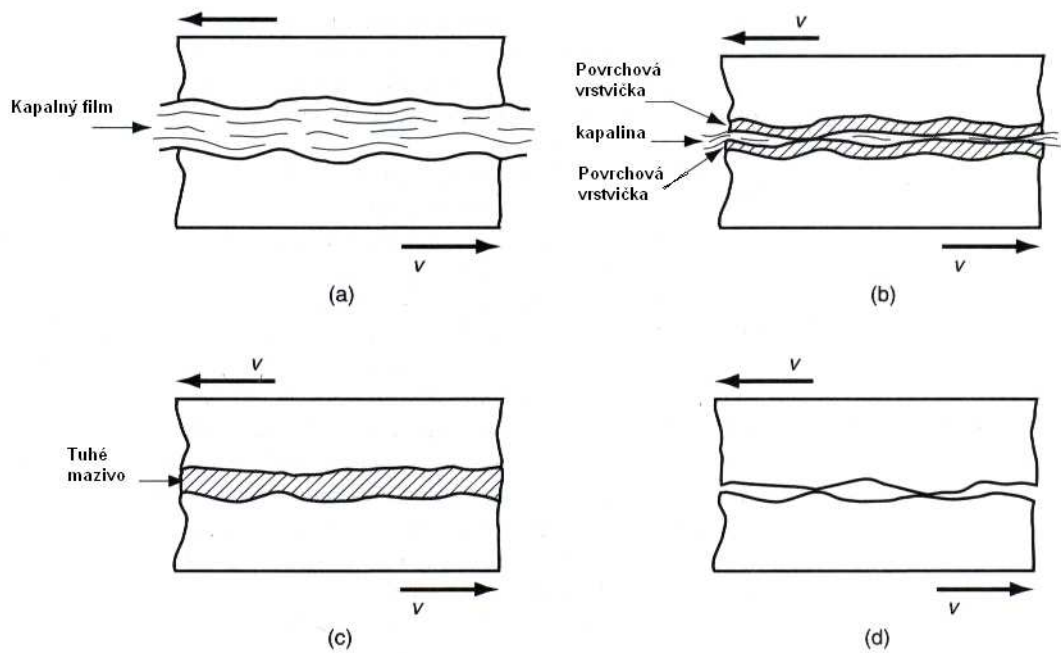


Obr.8.10. Závislost koeficientu tření na drsnosti povrchu.

### 8.3. Snížení tření mazáním.

Praxe nám ukazuje, že suché tření lze značně snížit, použijeme – li maziv. Způsoby mazání můžeme rozdělit do tří skupin:

- Mazání pomocí tenkého kapalného filmu. V ideálním případě takového mazání jsou obě třecí plochy vzájemně odděleny tenkou vrstvičkou vhodné kapaliny. Mezera mezi oběma plochami bývá velká ve srovnání s jejich drsností. Koeficient tření je v tomto případě dán vlastnostmi mazací kapaliny, zejména její viskozitou. Proto hovoříme o tzv. *hydrodynamickém mazání*. (Obr.8.11.)
- Mazání pomocí vytvoření povrchové vrstvičky. Tento způsob mazání spočívá ve vytvoření dvou povrchových vrstviček na obou třecích plochách tak, aby nedošlo ke vzájemnému kontaktu kovů. Zmíněné vrstvičky jsou vytvořeny pomocí adsorpce různých maziv (minerální či rostlinné oleje, tuky, mastné kyseliny, mýdla apod.). Tento způsob mazání se používá většinou při nižších teplotách a tlacích. Pro vysoké teploty a tlaky se tyto vrstvičky vytvářejí pomocí různých *aditiv*, přidávaných do minerálních olejů (fosfor, chlór a síra). Tak vzniknou poměrně pevné vrstvičky (soli), které mají vysokou teplotu tání a brání přímému kontaktu obou kovů mezi sebou.
- Mazání pomocí tuhých maziv. Mezi tuhá maziva řadíme grafit, siřník molybdenu a teflon. Tyto látky aplikujeme ve formě prášku, který přilne k oběma třecím plochám a chemicky s nimi reaguje. Posláním těchto maziv je oddělit od sebe obě třecí plochy prostředím s malým koeficientem tření. Tohoto způsobu mazání se používá při vysokých teplotách a tlacích a v agresivním prostředí, kde jsou jiné druhy maziv neefektivní.



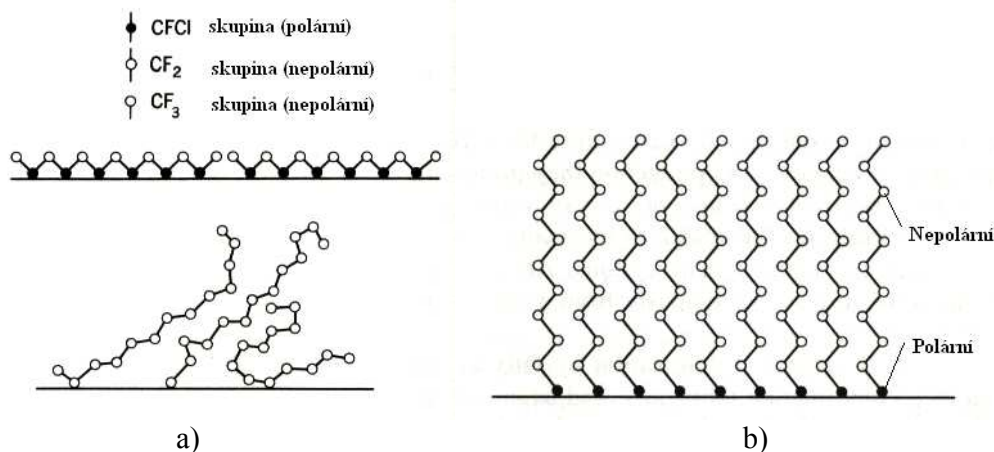
Obr.8.11. Základní principy mazání: a) hydrodynamické, b) pomocí adsorbovaných tenkých vrstviček, c) pomocí tuhých maziv, d) suché tření.

### **Konkrétní druhy maziv a jejich vlastnosti :**

- **Minerální oleje:** Vyrábějí se z ropy a vytvářejí na povrchu třecích ploch tenké povrchové vrstvičky. Jsou velmi rozšířené.
- **Rostlinné oleje, tuky a jejich deriváty:** Vyrábějí se z rostlin a zvířecích tuků. Patří k prvním používaným mazivům. Řadíme k nim i mýdla, tuky, vosky a mastné kyseliny.
- **Syntetická kapalná maziva:** Většinou jsou svojí strukturou podobné olejům. Patří sem syntetické estery a silikonové oleje. Používají se za vysokých teplot.
- **Kompozitní maziva:** Sem řadíme minerální oleje, doplněné tzv. aditivy, kterými jsou: (1) sloučeniny fosforu, síry a chlóru. (2) Pevné látky, jako grafit a siřník molybdenu. (3) Oxidační inhibitory. (4) Přidavky, zamezující pění. (5) Přidavky proti množení bakterií a jiných organismů.
- **Vodní maziva:** Voda je sama o sobě špatné mazivo, avšak přidáme – li do ní vhodné látky, můžeme ji k mazání použít, neboť má dobré chladicí schopnosti. Jako přísady můžeme použít olej (emulze s vodou), nebo i jiné speciální chemikálie, rozpustné ve vodě.
- **Povrchové vrstvy:** Povrchy třecích ploch lze pokrýt například (1) kovy (Zn, Sn apod.), které na nich vytvářejí plastické povlaky. (2) polymery (teflon). (3) skla (pro vysoké teploty).

Obecně lze říci, že nejlepší maziva mají takovou strukturu, že jejich molekuly jsou tvořeny dlouhými řetězci, ukončenými nenasycenou vazbou (která se naváže na jednu z ploch). Mazací účinek potom připomíná „klouzání“ po mokré trávě. (Obr.8.12)



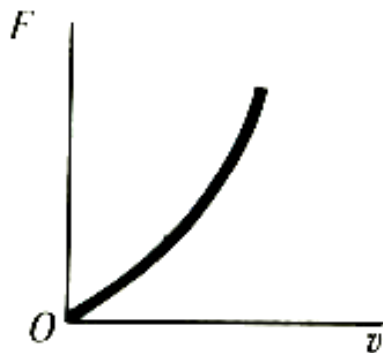


Obr.8.12. Princip mazání: a) nepřiliš efektivní maziva, b) velmi dobrá maziva.

#### 8.4. Mokrý (vazký) tření.

Z předcházejícího odstavce plyne, že použití kapalin jako maziv značně snižuje tření obou třecích ploch. Názorně si to lze představit tak, že se po sobě již nepohybují obě plochy, ale tenké vrstvičky kapaliny (maziva) – tzv. *mokrý tření*. Podobně je tomu v případě, že se v nějaké kapalině pohybuje těleso (např. kulička o poloměru  $r$ ). V obou případech pozorujeme, že statické tření je nulové (obě třecí plochy se po sobě začnou pohybovat už při působení nepatrné síly). Je to rozdíl proti suchému tření, u kterého bylo třeba působit jistou (někdy dosti značnou silou), aby se tažené těleso dalo do pohybu (viz Obr. 8.4.).

Závislost síly mokrého tření na rychlosti je schematicky znázorněna na Obr. 8.13 .



Obr. 8.13. Schematická závislost síly mokrého tření na rychlosti.

Matematicky lze tuto závislost popsat Stokesovým vztahem

$$F_t = 6 \cdot \pi \cdot \eta \cdot r \cdot v = \beta \cdot v \quad (8.2)$$

Kde  $\eta$  je vazkost kapaliny a  $r$  je charakteristický rozměr těles (poloměr kuličky, vzdálenost třecích ploch, apod.). Z Obr.8.13. plyne, že pro větší rychlosti se přímá úměrnost změní na kvadratickou závislost (Newtonův vztah):

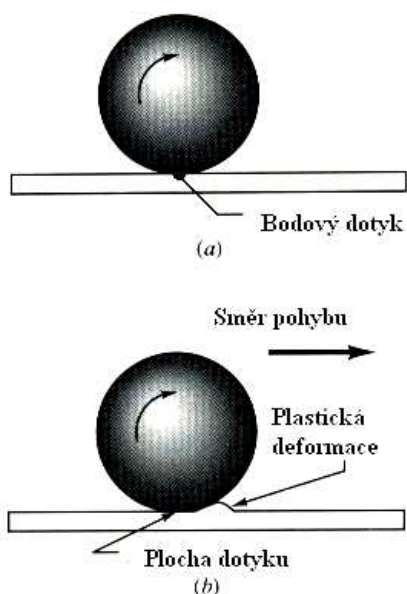


$$F_t = C \cdot v^2 \quad (8.3)$$

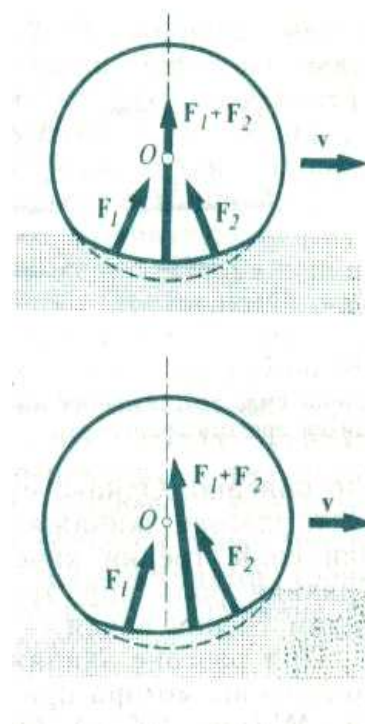
#### 8.4. Valivé tření.

V předcházejících odstavcích jsme si ukázali, že suché tření lze snížit např. výběrem vhodných materiálů pro třecí plochy, nebo mazáním. Další cestou je použití valivých ložisek, tj. přeměnou suchého nebo mokrého tření na tření valivé.

Při valivém pohybu pevného oblého tělesa (kuličky, válečku) po jiném pevném tělese, k němuž je oblé těleso přitlačováno nějakou silou (a navíc tlačeno ve směru, rovnoběžném s rovinou druhého tělesa), odporuje tomuto pohybu tzv. *tření valivé*. Fyzikální podstatu valivého tření lze objasnit pomocí Obr.8.14. a 8.15. Protože na kuličku (váleček) působí síla, která ji vtlačuje do podložky (a zároveň ji pohání jedním směrem, což je typické pro praktické využití jako kuličková nebo válečková ložiska), dojde k deformaci jak kuličky, tak i podložky. Pokud by tato deformace byla ideálně pružná, nevznikala by síla valivého tření. Celková síla, působící na kuličku, je podle tohoto obrázku rovna  $F = F_1 + F_2$  a momenty těchto sil vzhledem k ose kuličky se navzájem vyruší. Výslednice  $F$  je v rovnováze s vnější silou, působící na kuličku (zvětšenou o její tíhu). Nevzniká tedy žádná síla valivého tření.



Obr.8.14. K objasnění valivého tření.



Obr.8.15. Síly při valivém tření.

Protože je však ve skutečnosti tato deformace plastická (i když velmi malá), vzniká síla valivého tření a síly  $F_1$  a  $F_2$  budou různé, takže jejich výslednice bude mít složku vertikální i horizontální. Momenty obou sil mají opačný směr a nerovnájí se jeden druhému.

Moment síly  $F_2$ , brzdící otáčení kuličky je větší, než moment síly  $F_1$ , který ji urychluje, takže výsledkem je zpomalování rotace kuličky a tedy vznik valivého tření.

Síla valivého tření je tedy důsledkem nepružného charakteru deformace kuličky (válečku) a povrchu ložiska v okolí jejich vzájemného kontaktu. Vztah pro sílu valivého tření má tvar

$$T_v = \frac{\mu_v}{r} N \quad (8.4)$$

( $\mu_v$  je koeficient valivého tření,  $r$  je poloměr kuličky a  $N$  je kolmý tlak, který na ni působí)..Hodnota koeficientu valivého tření  $\mu_v$  (v cm) je vždy menší, než je koeficient suchého tření, například (viz Tab.8.2):

Dvojice materiálů	$\mu_v$ (cm)
Tvrdé dřevo – tvrdé dřevo	0,05
Ocel - ocel	0,005
Ocelové kuličky v ložiskách	0,0005 – 0,001

Odtud vidíme, jak je vhodné převádět suché i mokré tření na tření valivé; (je –li to možné).

Zákony valivého tření lze opět shrnout do několika bodů:

- Síla valivého tření je rovna  $n$ -té mocnině zatěžovací síly. Pro malá zatížení, kdy je deformace kuličky i podložky prakticky pouze pružná, je exponent mocniny  $\sim 1,3$ . Pro velká zatížení, kdy již plastická deformace na styku kuličky a plochy není zanedbatelná je exponent větší, dosahuje až hodnot 2,0.
- Síla valivého tření je nepřímo úměrná poloměru křivosti kuličky (válečku).
- Síla valivého tření je tím menší, čím hladší jsou oba povrchy (kuličky i povrchu ložiska).

## ? 8.5. Kontrolní otázky

8.5.1. Na čem závisí koeficient smykového tření?

8.5.2. Napište Coulombův – Amantův zákon.

8.5.3. Pokuste se nastínit situaci, jak by vypadal svět kolem nás v případě, že by neexistovalo tření.

8.5.4. Jaké vlastnosti má ideální mazivo?

8.5.5. Jaký tvar mají molekuly ideálního maziva? Co jsou to aditiva?

8.5.6. Jaká je závislost mokrého (vazkého) tření na rychlosti pohybu?

8.5.7. Na čem závisí valivé tření?

